

выносу ПК и по размерам поверхностей конденсатопитающего и парового трактов турбин с учетом эффективности очистки на фильтрах), г/ч; $G_{\text{п.к.}}$ — поступление ПК железа с поверхности циркуляционного контура, г/ч; p — расход реакторной воды на очистку (продувку), т/ч; $D_{\text{п.к.}}$ — паропроизводительность реактора, т/ч; $C_{\text{пр.}}$, $C_{\text{п.к.}}$ — определяемая концентрация (или нормируемое содержание) ПК железа в реакторной воде и насыщенном паре соответственно, г/т; μ_1 и μ_2 — эффективность удаления ПК железа фильтрами внутренней очистки и конденсатоочистки соответственно; $V_{\text{п.к.}}$ — объем циркуляционного контура реактора, м³; γ — плотность воды при нормальных условиях, т/м³; ω — постоянная осаждения ПК железа на поверхность циркуляционного контура реактора, ч⁻¹.

Входящая в приведенное уравнение постоянная ω определяет кинетику осаждения и зависит от теплофизических и гидравлических процессов в теплоносителе. Для определения ω при стационарных и переходных режимах были использованы эксплуатационные и экспериментальные данные, полученные для действующих отечественных энергетических и полупромышленных установок и АЭС с кипящим реактором. Оказалось, что, если отношение объема к поверхности у циркуляционного контура кипящего реактора составляет $0,014-0,054$ м, то во всех случаях значение ω одинаково и равно $(53 \pm 8) \cdot 10^{-2}$ ч⁻¹. Найденная таким образом постоянная осаждения автоматически учитывает влияние многих процессов и факторов, в связи с чем может использоваться при проектировании одноконтурных установок типа РБМК, внося при этом погрешность не более $\pm 15\%$.

При стационарных режимах работы установки расход реакторной воды на очистку, зная ω , можно оценить по приведенному уравнению. При переходных режимах работы этот расход воды определяется из условия:

$$p/V\gamma \geq \omega, \quad (2)$$

откуда $p \geq V\omega\gamma$. Однаковые значения ω для стационарного и переходного режимов работы данной установки позволяют дополнительно проанализировать уравнение (1). Левая часть уравнения для каждого режима работы остается постоянной. В правой части уравнения слагаемое

$C_{\text{п.к.}}D_{\text{п.к.}}$ зависит от рабочих параметров и в какой-то степени от сепарационных устройств. На слагаемое $C_{\text{пр.}}V_{\text{п.к.}}$ не влияет режим работы установки, поскольку значение ω остается неизменным. Следовательно, воздействовать на данное слагаемое не представляется возможным. Остается слагаемое $pC_{\text{пр.}}$, которое и определяет количество ПК железа в объеме контура. При этом можно либо увеличивать расход реакторной воды на установку контурной очистки, что вызовет увеличение капитальных и эксплуатационных затрат, либо увеличивать концентрацию ПК железа в расходуемой для очистки воде. Последнее осуществляется путем изменения мест забора и вывода этой воды. При стационарных режимах работы такими местами являются застойные зоны с относительно низкой скоростью циркуляции, причем может быть осуществлено систематическое «обегание» этих зон.

Весьма существенно (до 50 раз) возрастает концентрация ПК железа в переходные периоды работы, которые должны максимально использоватьсь для выведения этих продуктов из контура. В данном случае, по-видимому, необходимо увеличивать и расход воды на очистку теплоносителя, поскольку повышенная концентрация ПК в контуре сохраняется непродолжительно ($\sim 2-2,5$ ч). Кроме того, в эти периоды целесообразно искусственно взмучивать ПК, например, изменения скорость циркуляции путем переключения насосов.

Предлагаемые рекомендации уже учтены в проекте реактора РБМК-450. В переходные периоды увеличенный объем воды, расходуемой на очистку, должен проходить только через механические фильтры, а объем воды, поступающей на ионообменные фильтры, может оставаться таким же, как при стационарном режиме. Следует подчеркнуть, что значительное количество взвешенных ПК железа в застойных зонах контура объясняется их поступлением с питательной водой, поскольку конденсатоочистка располагается непосредственно после турбины. Одна из мер борьбы заключается в очистке питательной воды на нанывных ионообменных фильтрах, отличающихся большей эффективностью и способных работать при повышенной температуре.

Поступило в Редакцию 4.11.77
В окончательной редакции 18.06.79

УДК 621.039.51

Коэффициенты реактивности материалов в размножающих средах с $K_{\infty} \approx 1$

ДУЛИН В. А., КАЗАНСКИЙ

Ю. А., МАМОНОВ В. Ф.

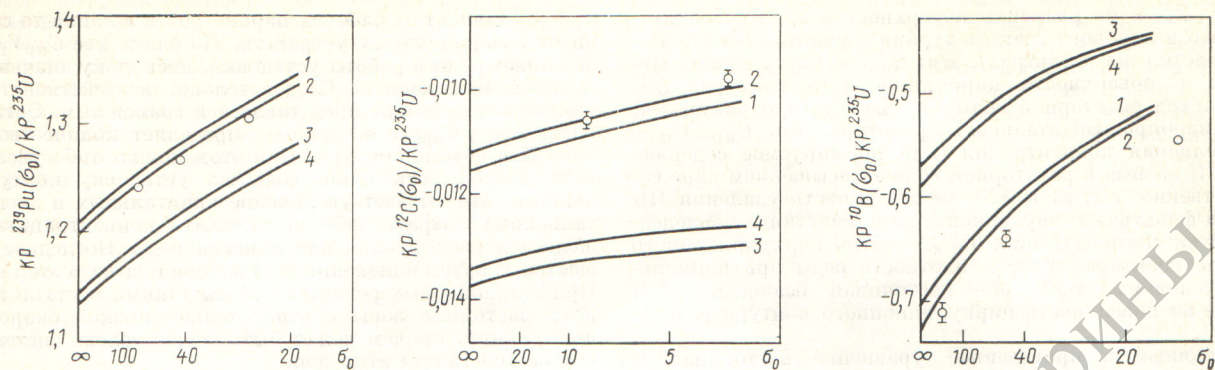
Использование интегральных характеристик, измеренных на критических сборках, для проверки и корректировки ядерных данных имеет смысл в том случае, если условия эксперимента адекватно описываются расчетной моделью.

Интегральные эксперименты на критических сборках БФС показали [1], что расчет с использованием системы констант БНАБ-70 [2, 3] неудовлетворительно описывает коэффициенты реактивности (КР) типичных поглощающих, рассеивающих и делящихся элементов. Представляло интерес изучить КР в сборках, расчет которых может быть сделан с минимальными погрешностями, обусловленными идеализацией пространственных расчетов. Таким условиям удовлетворяли сборки БФС-31-4, 33-2 и 35-1, центральные части которых имели составы, обеспечивающие $K_{\infty} \approx 1$ [4], достаточно большие размеры и сравнительно мало выраженную гетерогенную структуру. Наблюдаемые расхождения эксперимента и расчета в этом случае обусловлены константной составляющей погрешности расчета.

Сборка БФС-35-1 состояла из металлического урана с обогащением 5,61%, являясь повторением сборки

SNEAK-8 [5]. Сборка БФС-33-2 состояла из оксида урана с обогащением 8,35%, в сборке БФС-31-4 окись ^{235}U была заменена на металлический ^{239}Pu . Измерения КР проводились в центре сборок с образцами различных размеров. Результаты измерений являются усредненными по гетерогенной структуре сборок в пределах центральной ячейки (4–6 см). На рисунке приведены измеренные КР для образцов из ^{239}Pu , ^{10}B и ^{12}C различных размеров, которые представлены в виде отношений к КР ^{235}U нулевых размеров. Анализ отношений КР (OKR) позволяет исключить ошибки пространственных расчетов и подчеркнуть константную составляющую погрешностей расчета. Размеры образцов на рисунке характеризуются значением $\sigma_0 = 1/nl$, где n — ядерная плотность образца; $l = 4 V/S$ — его средний геометрический размер; V — объем; S — поверхность образца.

Расчеты проводились по программе M-26 [6] в P_1 -приближении с использованием системы констант БНАБ-70 и ее модификации OSCAR-76 [7]. Учитывалось влияние гетерогенной структуры сборок на OKR [8, 9]. Учет конечных размеров образцов проводился методами, описанными



Отношение коэффициентов реактивности ^{239}Pu , ^{12}C и ^{10}B к коэффициенту реактивности ^{235}U в сборке БФС-31-4: 1 и 2 — расчет по ОСКАР-76 для гомогенной и гетерогенной модели; 3 и 4 — расчет по БНАБ-70 для гомогенной и гетерогенной модели; ○ — эксперимент

в работах [4, 10]. На рисунке представлены результаты этих расчетов для реальной структуры сборки (БФС-31-4) и ее гомогенной модели. Для других сборок расчетная разница между гомогенной и гетерогенной моделями на порядок меньше. Для ^{12}C зависимость КР от размеров образца обусловлена в основном влиянием разблокировки окружающей среды, которое учитывалось в расчетах [11]. Как видно из рисунка, зависимость ОКР от размеров хорошо описывается расчетами, как это и отмечалось ранее [1].

Сравнение результатов измерений и расчетов ОКР

| Сборка БФС | ОКР | Эксперимент | Расчет | |
|---------------|----------------------------------|----------------------|-----------|-----------|
| | | | БНАБ-70 | ОСКАР-76 |
| 31-4 | $^{239}\text{Pu}/^{235}\text{U}$ | $1,192 \pm 0,015$ | $1,433$ | $1,497$ |
| | $^{10}\text{B}/^{235}\text{U}$ | $-0,74 \pm 0,02$ | $-0,590$ | $-0,725$ |
| | $^{12}\text{C}/^{235}\text{U}$ | $-0,0114 \pm 0,0005$ | $-0,0134$ | $-0,0112$ |
| 32-2 | $^{239}\text{Pu}/^{235}\text{U}$ | $1,260 \pm 0,015$ | $1,220$ | $1,257$ |
| | $^{10}\text{B}/^{235}\text{U}$ | $-0,895 \pm 0,015$ | $-0,733$ | $-0,890$ |
| | $^{12}\text{C}/^{235}\text{U}$ | $-0,0042 \pm 0,0003$ | $-0,0082$ | $-0,0045$ |
| 35-1 | $^{239}\text{Pu}/^{235}\text{U}$ | $1,49 \pm 0,02$ | $1,443$ | $1,475$ |
| | $^{10}\text{B}/^{235}\text{U}$ | $0,52 \pm 0,03$ | $-0,409$ | $-0,452$ |
| | $^{12}\text{C}/^{235}\text{U}$ | $-0,0226 \pm 0,0010$ | $-0,0218$ | $-0,0238$ |

В таблице приведены результаты расчетов ОКР, полученные по теории возмущений первого порядка (на рисунке это значения ОКР при $\beta_0 = \infty$). Поправки на гетерогенную структуру сборок внесены в расчет. Расчеты с использованием ОСКАР-76 значительно лучше согласуются

с результатами эксперимента. Это не удивительно, так как результаты экспериментов на сборках БФС-31 и БФС-33 использовались в процессе создания этой версии [7]. Таким образом, расхождения между рассчитанными и измеренными ОКР типичных делящихся, поглощающих и рассеивающих элементов объясняются наличием константной составляющей погрешности расчета.

СПИСОК ЛИТЕРАТУРЫ

- Дулин В. А. и др. «Атомная энергия», 1976, т. 40, вып. 5, с. 377.
- Абагян Л. П. и др. Групповые константы для расчета ядерных реакторов. М., Атомиздат, 1964.
- Абагян Л. П. и др. Препринт ФЭИ-325. Обнинск, 1974.
- Кузин Е. Н. и др. Препринт ФЭИ-698. Обнинск, 1976.
- Darrouzet M., Chandat J., Fisher E. In: Proc. on Intern. Symp. on Physics of Fast Reactors. Tokyo, 16—19 Oct. 1973, v. 1, p. 537.
- Николашвили Ш. С. и др. В кн.: Труды трехсторон. сов.-белг.-гол. симп. по некоторым проблемам физики быстрых реакторов. М., изд. ЦНИИатоминформ, 1970, т. 1, с. 192.
- Усачев Л. Н. и др. В кн.: Труды конф. «Нейтронная физика». М., изд. ЦНИИатоминформ, 1977, ч. IV, с. 27.
- Дулин В. А. В кн.: Ядерные константы. Вып. 21. М., Атомиздат, 1976, с. 126.
- Дулин В. А. «Атомная энергия», 1978, т. 45, вып. 2, с. 107.
- Дулин В. А., Мамонтов В. Ф. Препринт ФЭИ-392. Обнинск, 1973.
- Горбатов Н. Е. и др. [7], т. 2, докл. Д36.

Поступило в Редакцию 30.01.78

УДК 539.172.3

Сопоставление сечений образования ^{115}Cd и ^{140}Ba при фотоделении ^{235}U , ^{238}U , ^{237}Np и ^{239}Pu

ГАНИЧ П. П., ЛОМОНОСОВ В. И., СИКОРА Д. И.

При исследовании процессов фотоделения трансурановых элементов представляется интерес знание выходов и сечений фотообразования осколков симметричного и асимметричного деления в зависимости от энергии γ -квантов. В настоящее время в работах [1—4] опубликованы данные по выходам продуктов фотоделения в максимуме и минимуме массового распределения осколков (или их отноше-

ние) как функции максимальной энергии фотонов для ядер ^{235}U , ^{238}U , ^{237}Np и ^{239}Pu . Для этих нуклидов в работах [1] приведены также сечения фотоделения в области гигантского резонанса.

Наличие таких данных позволило рассчитать полный выход осколков деления, выходы осколков ^{140}Ba и ^{115}Cd (нормированные к одному падающему на тормозную ми-